

半导体译丛



半导体的受激光发射

谢希德 阮同编

上海市科学技术编译馆

前　　言

我們根據国外近期期刊選譯了“半導體的受激光發射”方面的文獻共 37 篇。其中由於半導體中受激光發射現象的研究在最近兩年才開展起來，不少研究成果在初期只能以研究通訊的形式發表，因此，本輯所載絕大部分是研究通訊。

本輯第一、二兩篇，是在實驗上發現半導體的受激光發射現象前的有關理論研究；第三、四、五三篇，是世界上最早宣布觀察到半導體中受激光發射現象的原始文獻，三篇差不多同時報道了半導體砷化鎵 $p-n$ 結加上正向偏壓後出現的受激光發射現象；第六至第二十九篇，研究對象是半導體砷化鎵 $p-n$ 結，是 1962 年 11 月後陸續發表的實驗性和理論性研究的論文，排列以發表時間的先後為序；隨後兩篇日本文獻的特點在於具有綜合性，同時還有一些較好的實物照片；第三十二篇到三十七篇，介紹砷化鎵以外的其他 III-V 族化合物半導體及 III-V 族化合物固溶體半導體材料制成的 $p-n$ 結上受激光發射現象的首批研究成果。

迄截稿止，還有很多新發表的、有價值的文獻未及選譯進去，因而本輯收集的資料是不夠完整的。為此，我們還準備根據讀者的需要繼續編譯一批最近發表的文獻，爭取在明年上半年出版。

編　者 1964.10.

目 录

1. 半导体的受激光发射条件..... M. G. A. Bernard 等 (1)
2. 带间跃迁和受激发射作用..... W. P. Dumke (4)
3. 砷化镓 $p-n$ 结辐射的受激发射..... M. I. Nathan 等 (8)
4. 砷化镓结的相干光发射..... R. N. Hall 等 (9)
5. 砷化镓半导体受激发射器..... T. M. Quist 等 (11)
6. 注入受激光发射器的阈值关系和衍射损耗..... G. J. Lasher (12)
7. 砷化镓光发射二极管的方向性效应：第一部分..... G. Burns 等 (15)
8. 砷化镓光发射二极管的方向性效应：第二部分..... R. A. Laff 等 (16)
9. 光发射结中的电磁模式填充数..... W. P. Dumke (18)
10. 光发射砷化镓二极管中作用区的确定..... A. E. Michel 等 (19)
11. 室温受激发射..... G. Burns 等 (20)
12. 连续工作的砷化镓注入受激光发射器..... W. E. Howard 等 (22)
13. 砷化镓受激光发射器性质的温度效应..... G. Burns 等 (24)
14. 砷化镓注入受激光发射器的猝灭..... A. B. Fowler (26)
15. 压力对砷化镓 $p-n$ 结自发发射和受激发射的影响..... J. Feinleib (27)
16. 合金结砷化镓隧道二极管的光发射..... G. J. Hoover 等 (26)
17. 扩散施主的砷化镓注入受激光发射器..... C. E. Kelly (37)
18. 砷化镓结受激发射模式结构中的线宽和压强移动..... M. J. Stevenson 等 (38)
19. $p-n$ 结受激光发射器的阈电流..... J. L. Moll 等 (40)
20. 砷化镓半导体受激发射器理论..... A. L. McWhorter 等 (42)
21. $p-n$ 结中光传播的介质波导模式..... A. Yariv 等 (44)
22. $p-n$ 结中光传播的介质波导模式的观察..... W. L. Bond 等 (45)
23. 砷化镓注入受激光发射器中的线形..... G. Burns 等 (47)
24. 砷化镓注入受激光发射器的量子效率..... G. Cherroff 等 (49)
25. 砷化镓注入发光的能带填充模型..... D. F. Nelson 等 (51)
26. 砷化镓结型二极管中使谱线变窄的阈电流..... S. Mayburg (53)
27. 相干砷化镓二极管的温度效应..... W. E. Engeler 等 (55)
28. 流体静压力对砷化镓受激发射器光发射的影响..... G. E. Fenner (59)
29. 圆柱形的砷化镓受激光发射二极管..... K. M. Arnold 等 (62)
30. 砷化镓二极管受激光发射器..... 岡田純一等 (63)
31. 砷化镓半导体受激光发射器..... 成田信一郎 (68)
32. $Ga(As_{1-x}P_x)$ 结相干(可见)光发射..... N. Holonyak, Jr. 等 (74)
33. InAs 二极管中的受激发射作用..... I. Melngailis (75)
34. InP 受激光发射..... K. Weiser 等 (77)
35. 磁调制连续 InAs 二极管受激发射器..... I. Melngailis 等 (78)
36. InP 受激光发射器的一些性质..... G. Burns 等 (80)
37. $(In_xGa_{1-x})As$ 半导体二极管受激发射器..... I. Melngailis 等 (81)

1. 半导体的受激光发射条件

Maurice G. A. Bernard, Georges Duraffourg

近来发表了很多文章^①討論受激光发射器，但絕大多数只考虑局部化能級之間的受激发射。已熟知的由受激发射辐射而获得电磁波放大的必要条件，就是在跃迁中两个局部化能級之間的所謂“粒子数反轉”。但是，1958年P. Aigrain^②指出，在发射两个波色子的情况这个条件就不必要了，这时一个波色子被激发，另一个轉化为热。

实际上，在单粒子近似中，固体內的电子态可以用对整个晶体都有意义的布洛赫波表示；設有這樣的两个态：一个态具有波矢 k_i 和能量 $E_v(k_i)$ ，另一个态具有波矢 k_j 和能量 $E_c(k_j)$ 。又設这些态中的第一个属于状态組(v)，而第二个属于状态組(c)；先假定这两組态分别是半导体的价带和导带。

在平衡的条件下，任何能态 $E(k)$ 的占有几率就是費米-狄喇克函数

$$f = \frac{1}{1 + \exp [E(k) - F_0] / k_0 T}$$

其中， k_0 是玻耳茲曼常数而 F_0 是电子的費米能級或化学势。如果晶体不再处于平衡态，W. Shockley^③曾証明，在后面将討論的一定条件下，导带中任何状态的占有几率是

$$f_c = \frac{1}{1 + \exp [E(k) - F_c] / k_0 T}$$

其中 F_c 是导带电子的“准費米能級”；同样的方式，可定义一个价带空穴的“准費米能級”；在平衡时， $F_c = F_v = F_0$ 。

价带的一个态 $E_v(k_i)$ 一般通过直接的辐射跃迁与导带的一个态 $E_c(k_j)$ 相联系；設这样过程在单位時間內的几率是 W_v^c ；在含有光子能量 $\hbar\nu$ 、密度为 $P(\nu)$ 的辐射場中，单位時間內吸收的量子数是

$$N_a = AW_v^c f_v(k_i) [1 - f_c(k_j)] P(\nu) \quad (1)$$

单位時間內受激发射的量子数是

$$N_e = AW_c^v [1 - f_v(k_i)] f_c(k_j) P(\nu) \quad (2)$$

其中比例系数 A 包含着价带和导带的状态密度；由于 $W_v^c = W_c^v$ ，可能放大的必要条件， $N_e > N_a$ ，可写成

$$f_c(k_j) [1 - f_v(k_i)] > f_v(k_i) [1 - f_c(k_j)]$$

就是說

$$\exp (F_c - F_v) / k_0 T > \exp [E_c(k_j) - E_v(k_i)] / k_0 T \quad (3)$$

因为

$$E_c(k_j) - E_v(k_i) = \hbar\nu$$

以上条件简化为

$$F_c - F_v > \hbar\nu \quad (4)$$

这个条件可用不同的方法給以推广。首先，讓我們考慮有一个或多个声子被发射或被吸收的一个間接跃迁；必須修正表示式(1)和(2)。直截了当的計算可証明，如果声子轉化为热，不等式(3)就被换成

$$\exp (F_c - F_v) / k_0 T > \exp [E_c(k_j) - E_v(k_i) - \sum_q \epsilon_q \hbar\omega_q] / k_0 T \quad (5)$$

其中， $\hbar\omega_q$ 是所涉的第 q 个声子的能量，而 $\epsilon_q = \pm 1$ (在受激过程中，如果声子被发射是 +1，如被吸收为 -1)；但我們所要激发的辐射頻率是

$$\hbar\nu = E_c(k_j) - E_v(k_i) - \sum \epsilon_q \hbar\omega_q.$$

因此受激发射的条件还是关系式(4)。

其次，讓我們考慮某个能帶，譬如說导带，和禁带中某个杂质能級之間的直接或間接的辐射跃迁。各种簡并度和不同荷电条件的缺陷中心，其占有的統計^[3] 以及这些中心的复合統計^[4,5]，不同的作者都曾論述；作者之一曾經利用与每个杂质能級相关的“准費米能級”作了等效的处理^[6]；設 N_s 是荷电条件 s 的中心数目， N_{s+1} 是荷电条件 $s+1$ 的中心的数目；能級 $(s, s+1)$ 的能量 $E_{s+\frac{1}{2}}$ 定义为^[4, 6]

① “Laser Conditions in Semiconductors”，Physica Status Solidi, 1, 699 (1961)

② 关于受激光发射器的新近的参考文献，例如，看A. Authier(将出版在 Nucleus 上) 以及 N. G. Basov, O. N. Krokhin 和 Yu. M. Popov^[1] 的評論性文章

③ P. Aigrain 在 1958 年布魯塞爾“电子学和无线電通信中固体物理学的国际會議”中的演讲，未发表。新近，在第二次国际量子电子学会議中，N. G. Basov, O. N. Krokhin 和 Yu. M. Popov 独立地提出相同的思想

$$E_{s+\frac{1}{2}} = k_0 T \log Z_s / Z_{s+1}$$

其中 Z_s 和 Z_{s+1} 是两个配分函数。

在热平衡时，有

$$N_{s+1}/N_s = \exp(F_0 - E_{s+\frac{1}{2}})/k_0 T \quad (6)$$

其中 F_0 是费米能级。在非平衡的条件下，比值 N_{s+1}/N_s 不再等于(6)式所给的比；在下面我们将讨论的某些条件下，对于能级 $(s, s+1)$ 可按关系式

$$N_{s+1}/N_s = \exp[F_{s+\frac{1}{2}} - E_{s+\frac{1}{2}}]/k_0 T$$

定义一个“准费米能级” $F_{s+\frac{1}{2}}$ 。

现在，简单的计算证明，在导带中态 $E_c(k)$ 和缺陷能级 $(s, s+1)$ 的态之间跃迁，受激光发射的条件是

$$F_c - F_{s+\frac{1}{2}} > h\nu \quad (7)$$

这又和关系式(4)相等价。

因此，在对于半导体中各组电子态（导带、价带、杂质能级），可定义一个相关的“准费米能级”的假设下，由激励而使电磁波放大的必要条件就是简单的公式(4)。如果某组电子同热库或恒温器交换能量，在时间上比各组态之间跃迁使粒子数返回平衡所需要的时间短，则该组状态的“准费米能级”的概念是有意义的。绝大多数半导体显然都是这种情况。换句话说，我们可以将任何半导体受激光发射器，看作为具有近乎同一信号频率但有宽广“无益频率”谱的很大量的三能级（或甚至三个以上能级）受激光发射器的集合；允许“准费米能级”存在是等价于表示相应的“无益频率”同恒温器强烈耦合。如果通过滤波片使半导体同在温度 T_p 的黑体辐射有良好接触而提供泵跃迁，则根据把细致平衡用在连续的泵作用的讨论，用简单计算可指出

$$F_c - F_p = h\nu_p \left(1 - \frac{T}{T_p}\right) = h\nu_p \eta_c$$

其中 $\eta_c = 1 - \frac{T}{T_p}$ 是温度在 T 和 T_p 之间工作的热机的卡诺效率；但受激光发射器的效率是 $\eta = h\nu/h\nu_p = \nu/\nu_p$ ，因而受激光发射的条件(4)现在能重写成

$$\eta < \eta_c$$

这表明给出相干光的热机效率一定要低于卡诺效率。

这种处理的意义可由下列几点着重说明：

i) 一个半导体受激光发射器的实际运用不但需要满足必要条件(4)，而且还要求净发射应大于衍射、反射、自由载流子吸收等损失。但是，这种充分条件应对每个具体情况进行计算；因此关系式(4)在

预示什么对象最有利于作更仔细研究是个有用的步骤。

ii) 对于直接跃迁， $h\nu = E_G$ （这里 E_G 是禁带宽度），而且条件(4)要求注入载流子的数目这样大，以致电子和空穴两者的数目都是简并的或近于简并；低温时有效质量小的材料应该是有利的；作为一个例子，譬如说设计利用 n 型 InSb 或 InAs 晶体在液氢温度具有价带顶和导带底面之间的泵跃迁 ν_p 以及导带底和价带顶之间的受激发射 ν_s ①（图1）。

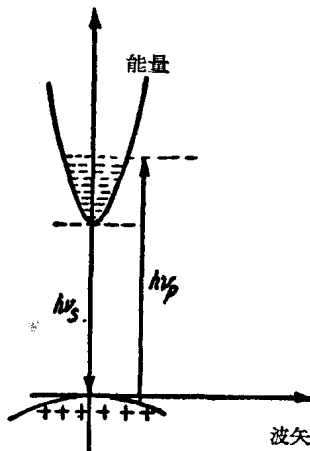


图1 InSb 或 InAs 的能带结构中的泵和信号跃迁（为了简单起见略去能带结构的简并度）

iii) 对于间接跃迁， $h\nu$ 小于禁带宽度

$$h\nu = E_G - \hbar\omega$$

其中 $\hbar\omega$ 是发射出来的一个声子的能量；这就必须大大减低受激光发射作用所需的泵功率；我们所得到的就是 Aigrain 曾经预料的结果，在 1958 年他第一个提出从锗中的间接复合辐射获得相干光的发射。

iv) 对于杂质跃迁， $h\nu$ 也小于 E_G ；例如，让我们考虑辐射跃迁到锗中 Zn 的第二个受主能级（图 2），预计 Zn^+ 离子俘获一个导带电子是一个缓慢的辐射过程，而 Zn^{++} 离子俘获一个空穴应该是很快的；因此电子的准费米能级 F_c 随注入而升高，而 Zn 能级的“准费米能级”将靠近空穴的“准费米能级” F_s ，因此也靠近价带。另方面，发射出来的光子能量远小于禁带宽度，并且

$$h\nu = E_G - E_a - \hbar\omega$$

其中 E_a 是 Zn 的第二个受主能级的电离能 ($E_a =$

① O. Benoit à La Guillaume 和 O. Tric 独立地也完成了同样的设计。

InAs, Ge 中 Zn 以及 Si 中 In 的实验正在进行中。

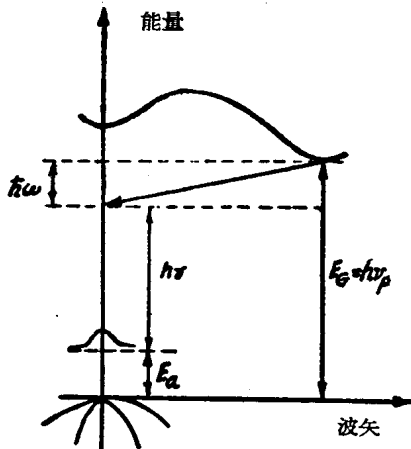


图2 锌的能带结构与所涉的各种跃迁。锌的第二个受主能级的波函数的富里变换，估计只有 $k(0, 0, 0)$ 附近是重要的；锌的第一个受主能级也应有有趣的可能性，为清楚起见省略了

0.09 ev)，而 $\hbar\omega$ 是间接辐射跃迁所发射的一个声子的能量。

另一种有趣的情况就是硅中 In 的情形；按照最近的数据^[7]，中性铟原子俘获一个电子是个缓慢的辐射过程，而负电荷的铟离子俘获一个空穴要快六个数量级。

这个课题的详细文章不久将发表；有关 InSb，

参考文献

- [1] N. G. Basov, O. N. Krokhin and Yu. M. Popov, Soviet Physics Uspekhi, 3, 702 (1961).
- [2] W. Shockley, B. S. T. J., 28, 435 (1949).
- [3] P. T. Landsberg, Proc. Phys. Soc., B 69, 661 (1956). C. H. Champness, Proc. Phys. Soc., B 69, 1335 (1957). W. Shockley and J. T. Last, Phys. Rev., 107, 392 (1957).
- [4] R. N. Hall, Phys. Rev. 83, 228 (1951) 和 87, 387 (1952). W. Shockley and W. J. Read, Phys. Rev., 87, 835 (1952). P. T. Landsberg, Proc. Phys. Soc., B 70, 282 (1957). M. Bernard, J. of Electronics and Contr., 4, 15 (1958). C. T. Sah and W. Shockley, Phys. Rev., 109, 1103 (1958).
- [5] M. Bernard, Défauts dans les Semi-conducteurs, Cours du 2e cycle de physique des solides, Faculté des Sciences d'Orsay.
- [6] H. E. D. Scovil and E. O. Schulz-Dubois, Phys. Rev. Letters, 2, 262 (1959).
- [7] Y. E. Pokrovsky and K. J. Svistunova, International Conference on Photoconductivity, Ithaca, USA., Août 1961.

(陆 栋译 谢希德校)

2. 带間跃迁和受激发射作用^①

W. P. Dumke

从最初的紅宝石受激发射器工作以来，对在象鎢和硅这样的半导体中观察受激发射作用的可能性已经有相当多的臆测。这些半导体以及許多 III-V 族^②和 II-VI 族金属間化合物都有一些值得注意的特点。第一，可能制备成比較純、均匀、有相当好的光学性质的单晶。其次，在半导体中可以用注入或雪崩技术而不用光泵来激发电子。最后，它們的能带结构和光学性质已經了解得很清楚，以致有可能从理論上判定某些跃迁是否能起受激发射器的作用。

同这些优点相对的有一些在通常的受激光发射器材料中一般都不出現的特性。第一，因为可能把载流子激发到連續的能級密度上，自由载流子可能吸收所发射的光。事实上，对光子說，自由载流子吸收是一种相当重要的耗散机理，掩盖了不完全反射的端面上的损失。其次，通过局部化的复合中心，无辐射复合几乎永远决定着电子—空穴对的寿命^[1]。这样的結果是，为了建立一定的非平衡载流子的分布，比起无辐射过程不重要的情况，需要更大的泵速率。然而，相当大量的非平衡粒子，有可能使通过局部化能級的复合速率达到飽和，所以，使多余的载流子有較长的寿命。而且，从一个物质到另一个物质，甚至同一材料的不同样品或同一样品在不同的温度，半导体寿命的改变可达几个数量級。可能找到一种半导体，特別是大能隙的材料，其中无辐射复合不是那样难越的障碍。不論是何种情况，在下面的討論中我們将試圖确立在某种理想的载流子分布下，半导体中是否能出現受激发射作用，而不图决定这种载流子分布能否得到。

在某一个电磁模式的光子場中，发射光子的数量超过吸收光子的数量时，就出現受激发射作用。光子顆粒数增多，直到它被产生受激电子态的有限速率所限为止。Combrisson, Honig 和 Townes^[2]对发出罗侖茲綫型的一对能級的情况，求得受激发射作用的条件。在这篇报告中，我們將討論存在連續吸收譜的带間跃迁的情况。我們將把受激发射作用的判据表示成容許直接利用光吸收数据的形式，而不用极难求得的跃迁矩阵元来表示这个判据。

考慮一个电磁模式，它沿着垂直于受激光发射器結構反射端面方向傳播。这个模式的光子数 N 的時間变化率决定于三項的和：

$$\frac{dN}{dt} = \left(\frac{dN}{dt} \right)_S + \left(\frac{dN}{dt} \right)_{FC} + \left(\frac{dN}{dt} \right)_I \quad (1)$$

头兩項 $\left(\frac{dN}{dt} \right)_S$ 和 $\left(\frac{dN}{dt} \right)_{FC}$ 分別相当于因端面上反射損失和体内吸收而減少的光子数。 $\left(\frac{dN}{dt} \right)_I$ 是带間跃迁的变化率并且是正的，相当于真正粒子數反轉情況中光子发射。为了出現受激发射作用，正的 $\left(\frac{dN}{dt} \right)_I$ 必須超过 $\left(\frac{dN}{dt} \right)_S$ 和 $\left(\frac{dN}{dt} \right)_{FC}$ 所代表的光子損失。我們能十分容易地把端面光子的損失率写成：

$$\left(\frac{dN}{dt} \right)_S \cong \frac{\delta N}{\delta t} = (1 - R)N / (ln_0/c) = \frac{(1 - R)Nc}{n_0 l} \quad (2)$$

其中， R 是端面的反射率，而 l 是两端面的間距， n_0 是折射率， c 是光速。

为了便于直接利用适当的吸收数据，把 $\frac{dN}{dt}$ 和广义的吸收常数 K 联系起来， K 又是类似于 $\frac{dN}{dt}$ 中的几項的和。应用

$$K = -\frac{n_0}{c} \frac{1}{N} \frac{dN}{dt}$$

得

$$K = \frac{1 - R}{l} + K_{FC} + K_I \quad (3)$$

$(1 - R)/l$ 代表在端面上因反射損失而引起的每单位长度的平均損失，并且可以更精确地用 $-ln R/l$ 来代替；然而，由于 R 一般接近于一，来自我們这表示式的誤差是小的。 K_{FC} 是經驗的自由载流子的吸收常数，相當于所考慮的物质中空穴和电子的数目。在求 K_{FO} 时，一定要注意杂质散射、温度、以及样品中波長等正确的条件。 K_I 是带間跃迁的吸收常数，

① “Interband Transitions and Maser Action”, Phys. Rev. 127, 1559, (1962)

② 原文是 III-IV 族，恐系印刷錯誤——譯者注

而在存在粒子数反轉时是負数。所以 $-K_I$ 是光子的放大常数。如果 $-K_I$ 超过 $K_s + K_{FC}$, 则光子数随时间增多或者随着模式所行进的距离而增多。因而就将看到受激发射。在下一节, 我们将说明在已知正常的带间吸收时, 如何求得反轉分布情况的 K_I 。

由粒子数反轉而来的辐射

可能用几种方式得到粒子数反轉。最直截了当的反轉是以某些能量激发态(即导带)上的填充分数超过较低能态(价带)上的分数而得到的, 这是直接跃迁(无声子跃迁)所能得到的唯一的反轉模型。

在直接辐射复合不允许时, 铜或硅中那样, 复合就必须通过间接跃迁进行, 粒子数反轉是电子和声子粒子数联合的结果。在复合涉及声子发射的情况, 激发态是导带(或激子)电子, 它们的基态是价带的一个电子加波矢差不多等于导带极小波矢的一个声子。在低温, 晶格中实际上不存在这种类型声子。因此, 虽只出现少数激发的电子和空穴, 也将组成粒子反轉。

既然我们的目标在于阐明如何应用吸收数据来預料感应发射的几率, 我们愿简要說明带间光跃迁的理論。对于直接跃迁, 只要考虑电磁相互作用哈密頓量 $H' = \frac{e}{mc} \mathbf{A} \cdot \mathbf{P}$, 其中 \mathbf{A} 是电磁模式的矢势, 而 \mathbf{P} 是电子的动量算符。 \mathbf{P} 的矩阵元联系着不同字称的能带中同一动量的状态。 \mathbf{A} 的矩阵元联系着电磁場的初态和多一个光子或少一个光子的末态。在一个电子被激发到导带时, 光子被吸收的几率是正比于初态的光子数 N , 而在电子复合时, 发射光子的几率正比于 $N+1$ 。我们将发射几率中正比于 N 的那部分称作感应发射几率, 而正比于 1 的部分称作自发发射几率。感应的光子发射或吸收的跃迁几率是相等的。

直接跃迁

本征的带与带间的吸收谱是用实质上有完全充满的价带和完全空的导带的材料测量的。对于直接跃迁^[3], 带间吸收常数 K_I 具有这样的光子能量关系, 在能带边缘附近 $K_I \approx A(\hbar\omega - E_g)^{1/2}$ 。假定电子粒子数反轉, 以致导带充满而价带是空的, 我们将有光子发射而不是吸收。传播中的光子数将指数式地增多, 其空间变化率是 $-K_I = A(\hbar\omega - E_g)^{1/2}$, 由于有光子存在将感应发射其它光子。如果价带和导带

质量分别为 m_v 和 m_c , 并設导带中被充满的状态能量达 $\left[\frac{m_c^{-1}}{m_c^{-1} + m_v^{-1}} \right] \Delta E$, 而价带中空着的态(充满着空穴)能量达 $\left[\frac{m_v^{-1}}{m_c^{-1} + m_v^{-1}} \right] \Delta E$, 就将发现光子的放大(吸收)常数應該是

$$\left. \begin{aligned} -K_I &= A(\hbar\omega - E_g)^{1/2} \\ \text{和} \quad K_I &= A(\hbar\omega - E_g)^{1/2} \end{aligned} \right\} \begin{aligned} \text{在 } E_g < \hbar\omega < E_g + \Delta E \text{ 时} \\ \text{在 } \hbar\omega > E_g + \Delta E \text{ 时} \end{aligned} \quad (4)$$

实际上, 往往难于获得有足够的光通过, 除非是极薄的样品, 在吸收边发生直接跃迁的情况。因此, 不总是可能从实验上决定 A 。然而, 如果已知载流子质量, 特别是 m_c , 那就可能相当准确地估计 A 。

间接跃迁

当导带和价带极值不在布里渊区中的同一点时, 光跃迁必伴随着声子的发射或吸收, 以使动量守恒。同直接跃迁比較, 这种间接跃迁产生相当弱的吸收。吸收谱的能量关系也不同, 因为末态电子的动量不象在直接跃迁那样决定于初态。

间接吸收常数可以写成几项和的形式^[3]

$$K_I = B_i [N_i(\hbar\omega + k\theta_i - E_g)^2 + (N_i + 1)(\hbar\omega - k\theta_i - E_g)^2] \quad (5)$$

其中, N_i 是第 i 个振动支的模式中能量为 $k\theta_i$ 的声子的平均数。(严格說, 对于声子发射 B_i 的值應該不同, 在这两种情况中, 二级的跃迁几率里的分母略有不同。)在低温, 只能出現声子发射的过程而且吸收发生在 $\hbar\omega = E_g + k\theta_i$ 。同样, 在低温的间接发射谱中, 只看到发射声子的过程。出現这些过程的闕在 $\hbar\omega = E_g - k\theta_i$ 处。低温下光子发射和吸收过程并不是互逆的, 因为两者都包含声子发射且具有不同的闕。这引出最重要的結論; 在低温发射出来的光子不会在带间跃迁中重新被吸收。这是对由晶格振动所提供的粒子数反轉的另一种看法。

在低温($N_i \approx 0$), 由晶格振动的第 i 支引起的间接吸收 $K = B_i \xi^2$, 其中 $\xi = \hbar\omega - k\theta_i - E_g$ 。在价带和导带中能量都达到 ξ 的全部态对吸收有贡献。假定我們討論这样的电子分布, 价带的态到能量 ΔE 是空的, 而导带的态被充满到同一能量 ΔE , 这样, 我们得到的光子放大常数是

$$\left. \begin{aligned} -K_I &= B_i \xi^2 \quad \text{在 } 0 \leq \xi \leq \Delta E \text{ 时} \\ -K_I &= F(\xi) \quad \text{在 } \Delta E \leq \xi \leq 2\Delta E \text{ 时} \end{aligned} \right\} \quad (6)$$

其中 $F(\xi)$ 是 ξ 的单調下降的函数, 它在 $\xi = \Delta E$ 时

为 $B_i 4E^3$ 和 $\xi=24E$ 时为 0 的数值之間变化。光子数的最大增加率出现在 $\xi=4E$ 。

間接激子跃迁

为了便利，把激子的产生和湮灭想象为带間跃迁。激子中的电子和空穴必須以相同的速度运动，此外，假定它們之間的相互間距比原胞的綫度大，电子和空穴的行为就象假定它們在各自的带中运动一样。电子和空穴的运动需要两个质量来描写。粒子的相互运动就是具有它們的折合有效质量的粒子运动，但描写它們质心运动的质量是电子和空穴的有效质量之和。激子的平移质量是涉及激子能带中状态密度的一个因素。

假定包含激子的物质具有間接的带边缘，这样，对于激子的湮灭和产生，仍然需要吸收或发射声子。这些跃迁的闕低于間接跃迁的闕，其差正好是激子的結合能，并且由于电子和空穴一定有相同的速度，在低温下，吸收常数是这样的形式^[4]

$$K_I = C_i(\hbar\omega + E_B - k\theta_i - E_g)^{1/2}$$

其中 E_B 是激子的結合能。

如果激子能带的每个状态刚好是一个激子，我們将得到类似的光子放大常数，

$$-K_I = C_i(\hbar\omega + E_B + k\theta_i - E_g)^{1/2}$$

如果以 $f_{ex} = ae^{-E_{ex}/kT}$ 代替激子的分布函数，其中 E_{ex} 是激子能带中的平移能量，则 $-K_I$ 是

$$\begin{aligned} -K_I &= aC_i(\hbar\omega + E_B + k\theta_i - E_g)^{1/2} \exp \\ &\times \left(-\frac{\hbar\omega + E_B + k\theta_i - E_g}{kT} \right) \end{aligned} \quad (7)$$

在 $\hbar\omega + E_B + k\theta_i - E_g = kT/2$ 处具有最大值 $-K_I = 0.43aC_i(kT)^{1/2}$ 。

可能任何带中的状态不止一个激子，因为它們遵从玻色統計；然而，激子的最大密度受各个激子占有的有限的体积限制。

自由載流子吸收

虽然，在靠近能隙的能量，一般不认为它是吸收辐射的一种很强的机理，自由載流子吸收或許是所考慮的材料中最重要的光子耗散机理。有时，我們靠改善反射率或运用較长的样品，能够减低受激发射器几何形界面损失的影响；而我們不能改变自由載流子的吸收又不影响材料的光子发射的特性。此外，受激发射作用需要很长的（約 10cm）光子平均自由路程。

自由載流子吸收包含間接跃迁載流子到达同一

带中离带底差不多是光子的能量的状态。对于直接和間接能隙的材料它几乎是同样的大小。一般需要有声子散射，使跃迁中总动量能够守恒。在提供必要的动量方面，杂质相对地沒有影响，因为杂质势能中对应于大动量变化的富里哀分量振幅很小。然而，对于很高掺杂的情况，曾观察到杂质散射能增强自由載流子的吸收。

因为晶格振动处于激发的较少，自由載流子吸收随温度下降而减小。但由于涉及波数比較大的模式，在低温下（低于 100°K）自由載流子吸收就出現微弱的温度关系。

只要光子的能量超过激子的結合能，預計激子具有自由載流子吸收的截面，即电子和空穴的截面之和。这点受到这种觀察的支持，即不管电子是在施主态还是在电离态，它們的截面是相同的^[5]。

自由載流子的吸收常数简单地决定于

$$K_{FO} = n\sigma_n + p\sigma_p$$

其中， σ_n 和 σ_p 是自由电子和空穴在一定温度及晶体純度下，对适当波长光子的吸收截面，而 n 和 p 是每单位体积自由（或准自由）电子和空穴的总数，包括激子和淺杂质状态中的載流子。

应用于鎢和砷化鎵

現在我們把上述方法应用于吸收譜以及电子态密度有詳細資料的几种情况。我們将假定的理想載流子分布并不是能够得到的，但它們引入的任何誤差偏向于达到受激发射作用的情况。

受激发射作用的判据（負的总吸收常数）可能作某种程度的簡化，如果我們在量 K_I 和 K_{FO} 是較大的假定下略去 K_S 。的确， K_S 可以做到很小，对于 R 为 0.99 的 2 厘米的棒，計算得 $K_S = 0.005$ 厘米⁻¹。

可供利用的自由載流子吸收的数据，其掺杂量都比我們实际上感兴趣的高；然而，我們相信来自文献可供用的截面大概粗略地准到 25%。

鎢中的間接跃迁

在这个情况，我們假定价带和导带充满（反轉）到能量 $4E$ 。既然， $-K_I \propto (4E)^2 \propto (n \text{ 或 } p)^{4/3}$ ，而 $K_{FO} \propto n$ 或 p ，則觀察受激发射作用的最好的机会将发生于載流子濃度大的情况。对鎢中最强的間接吸收^[6]，涉及 320°K 的声子， $B_{320} \sim 2400$ 厘米⁻¹ 电子伏⁻²。如果設 $4E = 0.1$ 电子伏，相当于 $n = 1.9 \times 10^{18}$ 厘米⁻³ 和 $p = 1.0 \times 10^{18}$ 厘米⁻³，我們得到 $-K_I$

$=0.24$ 厘米 $^{-1}$ 。在吸收边附近，锗中自由载流子吸收的截面 $\sigma_n=0.3 \times 10^{-17}$ 厘米 2 和 $\sigma_p=0.15 \times 10^{-17}$ 厘米 2 ^[7,8]。在以上的载流子浓度时， $K_{FC}=\sim 7$ 厘米 $^{-1}$ ，这是比能获得受激发射作用的值大三十倍。

硅是一个更不可能的候补者，因为其自由载流子吸收的截面比锗的大一个数量级。

锗中间接的激子复合

锗中对应于一个导带谷^[9]的激子有效质量是
 $m_{ex}=m_e+m_c \approx 0.33m+(0.08, 0.08, 1.58)m$
 $\cong (0.4, 0.4, 1.9)m$

这里对空穴假设一个各向同性的有效质量 $0.33m$ 。利用这个有效质量，激子能带的状态密度是导带状态密度的 5.5 倍。

现在，考虑在 4.2°K 每立方厘米有 10^{16} 个激子。在这样的浓度，激子分布差不多是

$$f_{ex}=0.105e^{-E_{ex}/kT}$$

如果我们认为跃迁涉及 320°K 声子，这时^[10] $C_t=11$ 厘米 $^{-1}\cdot\text{电子伏}^{-1/2}$ ，放大系数 $-K_I$ 的最大值是 $-K_I=0.43 \times 0.105 C(kT)^{1/2}=0.0094$ 厘米 $^{-1}$ 。激子含有 10^{16} 厘米 $^{-3}$ 个电子和 10^{16} 厘米 $^{-3}$ 个空穴，其自由载流子吸收是 $K_{FC}=10^{16}(\sigma_n+\sigma_p)=0.45$ 厘米 $^{-1}$ 。

因此，我们知道在这种情况下，自由载流子吸收将妨碍受激发射作用。

校样时附记 G. Lasher (私人通信) 已经从锗中激子的辐射寿命以及自由载流子吸收数据，独立地论断锗的激子受激光发射器是不可行的。

在温度降至低于 1°K 时，却有可能观察到受激发射作用，因为在这么低的温度，激子将集中在较小的能量范围内；况且，有某些实验证据^[11]，激子态具有 10^{-4} 电子伏的几倍之宽，宽度大体上同温度无关。

直接的辐射复合

例如考虑有 10^{16} 厘米 $^{-3}$ 个电子和 10^{16} 厘米 $^{-3}$ 个空穴的 GaAs，简并地处在能带边缘附近（这种分布可以想象在某些时刻出现，如果电子系和空穴系的热平衡化时间 (thermalization time) 比起复合时间是相当小）。导带中从导带边缘到能量为 0.0023 电子伏的状态都被充满，而重空穴从价带边缘起充至能量 0.0004 电子伏。这两个带在 k 空间充满载流子的体积实质上是相同的，因为差不多没有什么空穴能进入轻空穴带。

在 $\hbar\omega=E_g+0.0027$ 电子伏时，由感应的直接跃迁引起的光子放大是最大值。对于 GaAs，只计算重空穴带和导带之间的跃迁，(4) 式中 A 的值可以估计^[10]，约等 6000 厘米 $^{-1}\cdot\text{电子伏}^{-1/2}$ 。因此，光子放大常数将是

$$-K_I=A(\hbar\omega-E_g)^{1/2}=300 \text{ 厘米}^{-1}$$

如果我们假定空穴的吸收截面等于已知的电子的截面^[11]，即约 0.5×10^{-17} 厘米 2 ，就能计算自由载流子的吸收常数。在 10^{16} 电子和空穴时，得到 $K_{FC}=0.1$ 厘米 $^{-1}$ 。这样，在我们所述的条件下，显然在 GaAs 应该出现受激发射作用。由于光子放大常数是这么大，有可能容许 GaAs 中空穴多几个数量级，以致空穴保持简并分布所需的温度不是这么低。

现在还不明白利用象 GaAs 中的直接跃迁的器件，能否获得某些典型的受激发射作用。或许其短处就是缺少模式选择的可能性。就我们讨论的情况，光沿任何方向行进，只要它进行约 10^{-2} 厘米，就会强烈放大。结果所得的器件，能显出大约是各向同性的光的感应发射，狭窄的光带宽度粗略等于导带中被充满的能量。

然而可以论断，激发出来的许多电磁模式几乎立即移去激发能级上的电子，事实上就是认为，首先并不能建立起许多模式都能产生如此强的受激发射作用的电子。最可能的是在第一个电磁模式被激发时，任何电子数的进一步建立就被阻止了，而这些模式是由受激发射器的几何形状设计选定的。所以有相当希望用一种直接能隙的半导体象 InSb、GaSb、GaAs 等做成受激发射器，具有通常的模式选择的性质以及或许有靠注入激发的附加的特点。

参考文献

- [1] W. P. Dumke, Phys. Rev., **105**, 139 (1957).
- [2] J. Combrisson, A. Honig, and O. H. Townes, Compt. rend. **242**, 2451 (1956).
- [3] J. Bardeen, F. J. Blatt, and L. H. Hall, Proceedings of the Atlantic City Photoconductivity Conference, 1954 (John Wiley & Sons, Inc., New York, 1956).
- [4] R. J. Elliot, Phys. Rev., **108**, 1384 (1957).
- [5] W. Spitzer and H. Y. Fan, Phys. Rev., **108**, 268 (1957).
- [6] G. G. Macfarlane, T. P. McLean, J. E. Quarington, and V. Roberts, Phys. Rev., **108**, 1377 (1957).

(下转第 10 页)

3. 砷化镓 $p-n$ 結輻射的受激發射^①

M. I. Nathan, W. P. Dumke, G. Burns, F. H. Dill, Jr., G. Lasher

熒光材料中，受激發射輻射^[1]的特有效應是當激發增加時，發射線變狹。我們已經觀察到來自前向偏壓砷化鎵 $p-n$ 結的發射線的這種變狹現象。當注入電流增加，在77°K時，發射線變狹了20多倍，線寬度狹到小於 $kT/5$ 。我們相信：這種發射線的變狹是受激發射發生的直接證明。

用在這些實驗里的砷化鎵 $p-n$ 結是由鋅擴散到摻磷的砷化鎵中制得的。這些二極管被固定在一個鍍金的科伐墊圈上，結面積腐蝕到接近於 1×10^{-4} 厘米²，如圖1^[2]中的插圖所示。我們沒有企圖去获得高諧振電磁模式。二極管被浸在液氮中，在高電流電平時，用50毫微秒的電流脈衝來驅動。測量光輸出用Perkin Elmer光柵分光計及Dumont 6911光電倍增管。

在低注入電平時，觀察到95%以上的光，是在1.473電子伏特，半極大寬度為0.026電子伏特的線中發出。由光致发光實驗，我們相信觀察到的發射線，差不多完全是由導帶和鋅受主能級之間的躍遷產生。理論上已經表明，對於被受主陷阱的空穴，這種躍遷引起一個比較短的輻射壽命。

每個注入電子的量子效率大於0.2，而且對於電流大於10安培/厘米²的情況，可能接近於1。其他作者^{[3]~[4]}已經發表過相似的結果。然而，和以前發表過的測量結果不一樣，我們在電流大於10安培/厘米²時觀察到常數的量子效率。

當電流增加時，半寬度減小，起初很微弱，但當電流達到大約 10^4 到 10^5 安培/厘米²時，變狹是顯著的，如圖1中能看到的那樣。

由於 $p-n$ 結串聯電阻的存在，在高電流密度時， $p-n$ 結的變熱引起了禁帶寬度的改變，因而在脈衝持續時間內發射線也移動。這種移動使得在電流大於10安培時過高估計了發射線的半寬度。已經給出的，電流在10安培以上時的線寬度值，僅僅代表上限。在有一只二極管中，在所用的最高電流值時，發射線分成兩條相隔約6埃，寬度為2埃的線。

$p-n$ 結中受激發射的價值，可以通過對在穩態情況下，必定存在於晶體中的光子數同在晶體和發射線以內的電磁模式數之比的簡單計算來估計。如

果考慮了由晶體發出的光的強度同在晶體中光子密度之間的關係，計入了內反射效應，在電流密度為10安培/厘米²，量子效率為0.5，線寬為0.02電子伏特時，能够得到每個電磁模式有100個光子。帶有這樣一種光子填充的情況，輻射發射將差不多完全是受激的。發射線的變狹以及幾何方式的選擇，將使得每個模式有較大的光子填充，但僅存於較少量的模式中。

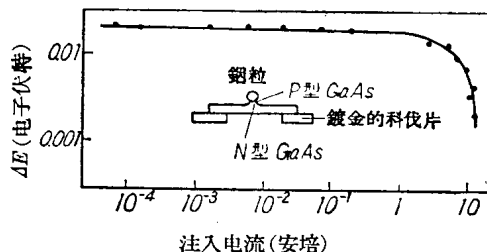


圖1 半極大強度時的線寬度同注入電流的關係
圖。二極管的面積是 1×10^{-4} 厘米²。插圖畫出了二極管的幾何結構

在電流密度達到使線寬度快速地變狹（假定增強模式中的光子占有數快速地增加）時，量子效率相對來講是常數這一事實，證明了量子效率接近於100%。

受激發射的存在，可能對二極管的高頻特性有影響。在給出高光子占有數的條件下，二極管的響應時間，應該比已發表過的結果^[2]小。

參 考 文 獻

- [1] A. L. Schawlow and C. H. Townes, Phys. Rev. **112**, 1940 (1958).
- [2] 相似的結構已經被應用，見：R. J. Keyes and T. M. Quist, Proc. IRE **50**, 1822 (1962).
- [3] J. I. Pankove and M. Massoulie, Bull. Am. Phys. Soc. **7**, 88 (1962). J. I. Pankove and J. E. Berkeyheiser, Proc. IRE **50**, 1976 (1962).
- [4] S. Mayburg, 邮寄藏稿後收到的稿件，美國物理學會 Baltimore 會議 1962年3月

(阮剛譯 謝希德校)

① "Stimulated Emission of Radiation from GaAs $p-n$ Junctions", Appl. Phys. Letters. **1**, 62 (1962)

4. 砷化镓的相干光发射^①

R. N. Hall, G. E. Fenner, J. D. Kingsley, T. J. Soltys, R. O. Carlson

已經觀察到加正向偏压砷化镓 $p-n$ 結的相干紅外輻射。這個現象的証據是基於發射光的輻射圖樣尖銳地定向，在閾值電流以上時光束強度突然地增加，以及在閾值電流以上時，光束的光譜分布顯著的變狹。受激發射被認為是由在導帶和價帶中等波數狀態之間的躍遷引起。

為了能夠觀察受激發射，必需滿足若干條件^[1]：(a) 在作用區內，電子和空穴的填充必需足夠大，使得它們的準費米能級分開的能量大於輻射的能量；(b) 其他過程所引起的吸收的損失比受激發射產生的增益要小；(c) 作用區必需包含在一個有諧振作用的腔內，諧振的波長落在受激發射可能產生的光譜範圍內。

在我們的結構中，必需的填充反轉由載流子的注入產生，載流子的注入從結的 n 型或 p 型末端區進入過渡區。條件(b)是最困難滿足的，因為受激輻射在結平面中傳播，作用區在厚度方面僅是波長的一個分數，而且有一個波前它側向地伸展到包圍結面的非作用的 n 和 p 型區內許多波長。由於帶間輻射複合與在砷化鎵中自由載流子吸收相比，前者有大的矩陣元，而且由於輻射的能量低於結兩旁的簡單材料的吸收閾值，這些都有利於受激發射作用。

二極管能夠近似地描述為邊長 0.4 毫米的一個立方體，結在通過中心的水平平面內。電流由連在樣品的底和頂部上的歐姆接觸通過結。為了滿足上述的條件(c)，樣品的正反面拋光成相互平行，且垂直於結面。電流用脈衝的形式，持續時間為 5 到 20 微秒，二極管浸在液氮中。

我們用紅外像變換器來研究輻射的圖樣，這種紅外像變換器提供一個能由眼睛直接看到或用照相檢測的象。圖 1 (圖見第 83 頁) 給出了這種圖樣的例子。起初的兩個圖表示電流低於和高於閾值時二極管產生的圖樣，這時像變換器離開二極管 6 厘米。圖 1(c) 表示超過閾值時相同的二極管，屏離開 15 厘米，使得輻射圖樣相應地放大。在這些照象中水平的帶是由結產生的光同在架二極管的金屬盤的象

所產生的光的干涉所引起，而它們的存在並不意味著源的相干性。另一方面，僅僅出現在圖 1(b) 和圖 1(c) 中的垂直帶，是由立方體前面沿着結邊緣不同點發射的波之間的干涉所引起，它們的出現是證明沿着結不同點發射的光之間存在著一定的相位關係，亦即這些光是相干的。干涉極大值之間的角距離和結的大小以及輻射的波長一致。但是，由這些以及其他相似結構的二極管產生的極大的相對強度，指出輻射不是由這種類型腔的基本模式所產生的。

測量了 L-70 號二極管軸向光束在 8420 埃的光強和結電流的關係。在 5000 安培/厘米² 以下時，光強隨電流密度線性變化。接近 8500 安培/厘米² 時強度隨電流增加得十分快，達到的一個值大約是在 20000 安培/厘米² 時低電流強度外推值的十倍。這樣的一個電流閾值是受激光發射開始的特性，而

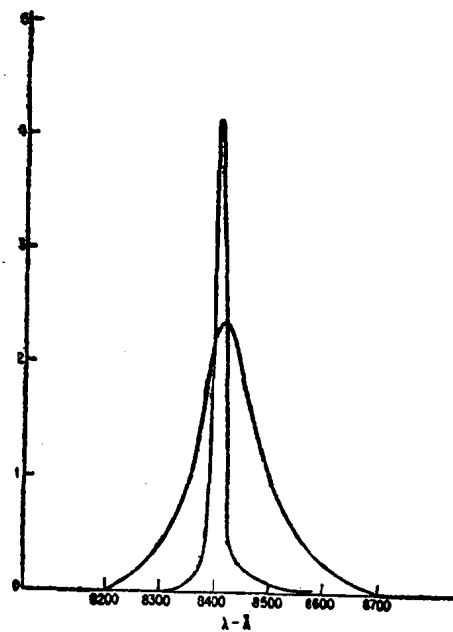


圖 2 L-69 號低於和高於閾值時的光譜分布，不同的垂直標度

① "Coherent Light Emission from GaAs Junctions," Phys. Rev. Letters, 9, 366 (1962)

图 1 的方位角的干涉极大使它们在这个阈值时出现是很有意义的。

图 2 表出用固定在光束轴上的分光计在几个电流密度值所测量的光谱分布。在阈值以下，半极大时的光谱宽度是 125 埃，同 Keyes 和 Quist^[2] 测量的结果一致。当电流增加通过阈值，光谱宽度突然减小到 15 埃，这个行为又是受激发射开始的特征。假如这个 15 埃宽度是由于单一谐振模式引起，那么发射依赖于模式的寿命均匀地加宽，那时振荡持续存在的周期仅为 1.6×10^{-12} 秒，或者说是一个足以使辐射通过小于晶体长度的距离 0.1 毫米的时间。然而，加宽也可能是由于当脉冲存在时，振荡在几个不能分辨的模式中发生，或者当一个脉冲存在时，谐振模式的波长变化。装置的分辨率是大约 3 埃。

当电流进一步增加超过阈值时，在较长波长出现附加模式，见图 3。附加模式在较低的能量出现的事实，说明在较长波长时主要的损耗过程变得更加有效，自由载流子吸收的情况正是如此。这些附加模式的分离大约由假定每个模式对应于在平行平面之间的一个附加半波长所计算值的三倍。在这个二极管中平行平面的间距为 0.32 毫米。

已经作成的其他结，呈现出相当不同的特性。这些结产生的辐射图样，在方位角的平面内是几乎均匀的，但在垂直平面上只有十分之几度宽，如图 1(d) 所示。这个图样说明在垂直方向，遍及 100 微米的距离内有相干性，但在水平方向实际上没有空间相干。

虽然在许多系统中已经观察到受激发射，然而这是第一次在固态器件中实现将电能直接转换成相

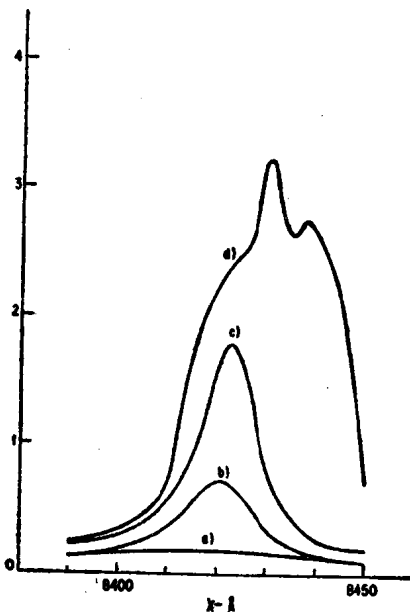


图 3 L-70 号二极管在不同电流时的光谱分布，对于所有的相同的垂直标度，任意单位
(a) 6000 安培/厘米² (b) 8600 安培/厘米²
(c) 10400 安培/厘米² (d) 20000 安培/厘米²

干红外辐射。这也是用涉及带间的而不是局部化原子能级之间的跃迁来实现受激发射的第一个例子。

参考文献

- [1] G. A. Bernard and G. Duraffourg, 本辑第一篇
[2] R. J. Keyes and T. M. Quist, Proc. IRE 50,
1822 (1962).

(阮 刚译 谢希德校)

(上接第 7 页)

- [7] J. Pankove(私人通信)。包含 n 型锗在 4°K 的吸收数据。
[8] R. Newman and W. W. Tyler, Phys. Rev.,
105, 885 (1957); 给了 p 型锗在 77°K 对 0.7 电子伏光子的截面。

- [9] G. Dresselhaus, A. F. Kip, and C. Kittel,
Phys. Rev., 98, 368 (1955).
[10] W. P. Dumke(未发表)。
[11] W. G. Spitzer and J. M. Whelan, Phys. Rev.,
114, 59 (1959).

(陆 栋译 谢希德校)

5. 砷化镓半导体受激发射器^①

T. M. Quist, R. H. Rediker, R. J. Keyes, W. E. Krag

B. Lax, A. L. McWhorter, H. J. Zeigler

几个作者^{[1]~[8]}已經对在半导体中实现受激发射运用的可能性作了理论考虑。近来发展起来的砷化镓扩散二极管，似乎可能实现作为受激光发射器的所有的必要条件，这种二极管以极高的效率把电能转换成狭线红外辐射^[4]。事实上，Hall 和他的同事们^[6]刚发表了在 77°K 时，用脉冲工作的条件下，获得了来自这种二极管的相干辐射^[6]。我們在 77°K 时，也已經独立地获得了来自砷化镓二极管的相干辐射，并且在 4.2°K 时得到性能大为改善的操作。

我們的结果是用具有台面结构的二极管得到的，结面积为 1.4×0.6 毫米²，两个短边端面光学抛光，而且彼此差不多平行。施加到二极管上的电流脉冲高达 190 安培。在 77°K，在电流达到约为 90 安培（密度约为 10^4 安培/厘米²）的阈值之前，以通常方式发出辐射。超过这个值，由二极管端辐射出的光的强度，急剧地增加，如图 1 所示。在 4.2°K 时，见图 1，阈值电流降低了 15 倍，差不多为 6 安培（或大约 700 安培/厘米²），超过阈值很多时，光输出又随着电流线性地增加。77°K 时，超过或低于阈值

电流的红外发射光谱，如图 2a 所示。画曲线时，取峰值有基本上相同的平均输出，在连续条件下取得非相干方式光谱响应，用重复速率为 13 周/秒的 5 微秒的脉冲取得相干方式的光谱响应。在 77°K 时，光谱图上出现分离约为 10 埃的多重峰。在图 2a 上能够看到，谱线从大约 175 埃变窄到 30 埃。在 4.2°K 时，如图 2b 所示，发射线变窄得更厉害，从大约 100 埃到小于 5 埃。这些强烈的变窄鲜明地启示了受激发射或相干作用的存在。在较高的功率电平

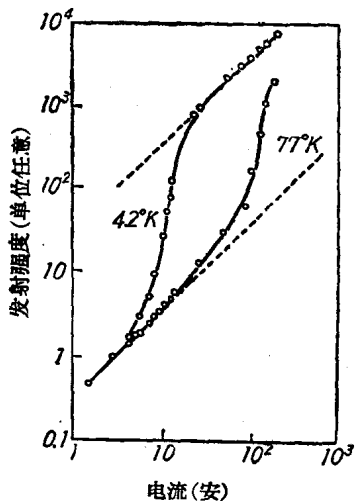


图 1 砷化镓二极管抛光表面的光发射同注入电流的关系，在 77°K (a) 和 4.2°K (b)

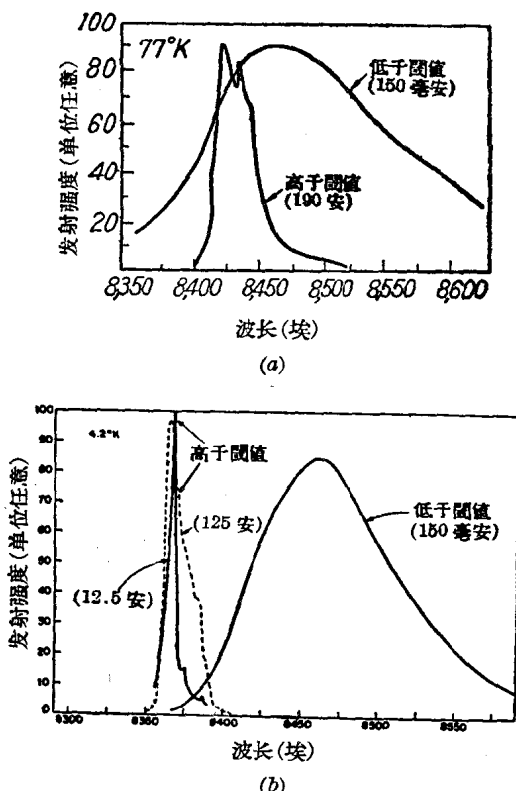


图 2 低于以及超过阈值的发射辐射光谱
(a) 77°K (b) 4.2°K 光栅分光计的分辨率是 4 埃
各曲线辐射强度的标度不同

(下转第 21 页)

① “Semiconductor Maser of GaAs”. Appl. Phys. Letters, 1, 91 (1962)

6. 注入受激光发射器的闕值关系和衍射損耗^①

G. J. Lasher

引言

本文对由 M. I. Nathan 等^{[1]~[3]}取得的砷化镓二极管受激发射的新成就提供某些有关的闕值关系。这些器件同以前曾有过的受激发射器不同，它们乃是由流经 $p-n$ 結的电流所激发的，这就引起了在接近结的一薄层内的光发射，我們用諧振结构的强度及注入光源的可测物理特性给出为得到相干光发射所必需的最小电流公式。本文涉及衍射损耗的一种新计算方法，此损耗适用于光发射层为光吸收材料所包围的情形。

图1是我们所讨论的结构的示意图。这是一个矩形的半导体晶体，空穴和电子注入到相反的两面。在晶体中有一厚度为 d 的作用层，当电流通过此器件时该层发光。彼此隔开距离 l 的顶和底两表面都有宽度为 w 的反射条。为了分析的目的，假定宽度 t 大得足以使我們可略去在此方向上的衍射损耗。

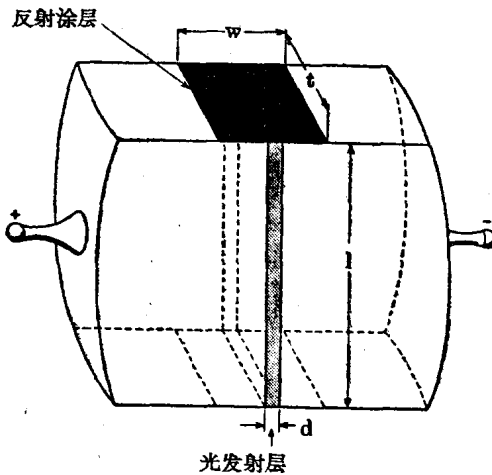


图1 注入受激光发射器的略图

当此器件为流经它的电流所激发时，由于受激发射，在激活区对光波每单位长度就有一增益。此增益将正比于自发发射率。同时，由于晶体的再吸收或散射以及由于透过反射条的传播和向晶体四面的衍射致使光波有损耗。当增益足以弥补所有这些损失时，器件将处在闕值。

受激发射的增益

因为单一电磁模式中的受激发射几率等于此模式中的自发发射几率乘以此模式中量子的数目，所以每单位长度上的增益正比于自发发射率。当我们应用通常的单位体积单位频率间隔的模式数的公式时，我們就发现每单位长度的增益 g 由

$$g = \frac{\lambda^2}{8\pi n^2} R \quad (1)$$

所给出^[4]，式中 R 为每单位时间內单位体积单位频率间隔內的自发发射量子的数目（假定对于一切传播方向以及两种偏振都是相等的）， λ 为辐射的真空波长， n 为材料的折射率。

自发辐射率 R 可表为

$$R = \frac{j\eta}{ed\Delta\nu} \quad (2)$$

式中 j 为器件中的电流密度， η 为量子效率（每个注入载流子平均辐射量子的数目）， e 为电子电荷， d 为作用区厚度，而 $\Delta\nu$ 則为自发发射辐射线宽，其严格定义包含在

$$g_{\max}\Delta\nu = \int g(\nu)d\nu = 1 \quad (3)$$

中，其中 $g(\nu)$ 为归一化的线形函数，而 g_{\max} 則为其最大值。

系统的损耗

若令式(1)的增益等于辐射波的所有损耗的总和，就得到闕值条件。此损耗之一就是材料对光的吸收或散射。如果光跃迁的较低态已被填充，则此损耗就要导致因发射过程反轉所致的吸收。当然，其它杂质、晶体缺陷以及自由载流子都能给出附加的吸收或散射。

除这些体吸收外，还有每一单位长度的有效吸收，这是由不完整的諧振结构所致的。通过反射涂层的有限透射等价于吸收 $\alpha_T = T/l$ ，其中 T 为涂层的透射率，而 l 則同上面一样，为反射面間的距离。

① "Threshold Relation and Diffraction Loss for Injection Lasers", IBM Journal 7, 58 (1963).

因为衍射，使所有的自一个条上反射的光都不入射到另一条上，对最有利的模式，由于这个效应所致的损耗已为 Fox 和 Li 在作用层厚度 d 同反射面宽度 w 相等的假定下作了计算^[5]。对于参数 $l\lambda/nd^2$ 值小的情形，他们的结果是：

$$\alpha_{\text{衍射}} = \frac{0.35}{l} \left[\frac{l\lambda}{nd^2} \right]^{3/2}. \quad (4)$$

现在最有效的注入光源是砷化镓二极管，它可能有一极小的光发射层厚度 d 。因此考虑如何才能减少此衍射损耗是有意义的。原则上可用的补救方法是利用同焦点的反射镜，如果必要的話，反射镜能同晶体分开。这种结构的模式已为 Boyd 和 Gordon^[6] 导得。他们表明中心模式的场强随横向距离大约按一宽为 $\sqrt{e\lambda/2\pi}$ 的高斯函数而变化，并且衍射损耗可以略去。为了得到不为周围材料的吸收所畸变的模式，此模式的宽度不应该比作用区的厚度 d 大很多，而这点可能要求长度 l 小得不现实。

对于薄作用发射层和宽反射条的情形，最低损耗模式横向范围很可能要由包围作用层的非发射材料的光吸收所决定。在附录中确定了这种情形的衍射损耗。如果非激活材料的消光系数和 $10\lambda/(2\pi nd^2)$ 同数量级，则所得的结果对吸收是不灵敏的。对此情形我们的结果是

$$\alpha_{\text{衍射}} = 0.42\lambda/(nd^2) \quad (5)$$

图 2 给出 $\alpha_{\text{衍射}}$ 同在周围材料中的吸收系数 α_s 的函数关系。这个计算的适用性取决于在反射条的边缘处模式的振幅要小；如果 $w \gg d$ 并且吸收系数不太小，情形就是如此。附录的末段解释了怎样可以得到在反射条的边缘处波的振幅，并因此判断此衍射损耗理论是否适用于任何特殊情形。

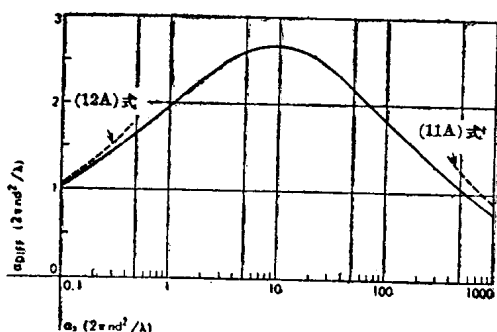


图 2 由衍射所致的吸收系数对周围材料的吸收系数的关系

阈值关系

使由式(1)和(2)表示的受激发射所致的增益同

所有损耗的总和相等，我们就得到一个阈电流密度表示式

$$j = \frac{8\pi n^2 d \Delta\nu}{\eta \lambda^2} [\alpha_0 + T/l + \alpha_{\text{衍射}}] \quad (6)$$

在合适的单位制中，上式变成

$$j(\text{安/厘米}^2) = 6.3 \times 10^4 \frac{n^2 d E^2 \Delta E}{\eta} \left[\alpha_0 + \frac{T}{l} + \alpha_{\text{衍射}} \right] \quad (7)$$

其中 E 为辐射能量，以电子伏特； ΔE 为以电子伏特的自发发射线宽（即为以能量单位表示的式(3)中的 $\Delta\nu$ ）， d 为光发射层的厚度， η 为量子效率， n 为折射率， α_0 为光发射层中的吸收系数， T 为透过反射层的光的百分数， l 为反射涂层间的距离，而 $\alpha_{\text{衍射}}$ 为由光衍射所致的有效吸收系数。

对大的 d （即 $d^2 \gg l\lambda/n$ ）及反射条宽度为 d 的情形，可用式(4)；对反射条远比 d 宽及光在包围光发射层的材料中吸收的情形，可用附录中的理论； $\alpha_{\text{衍射}}$ 数值示于图 2 中，而在此情形式(5)给出 $\alpha_{\text{衍射}}$ 的上限。

对砷化镓注入受激光发射器的应用

现在阈电流表示式中有许多量的数值都是未知的，但为便于说明起见，我们可以假定某些数值。在正入射时未涂层的砷化镓晶体的反射比为 30%。反射表面间距离 1 毫米就意味着 7 厘米⁻¹ 的有效吸收系数。假定使式(5)有效的条件成立，现在我们求光发射层需多厚才能产生相等的由衍射所致的吸收系数。结果为 $d = 1.1 \times 10^{-3}$ 厘米。如发射层比此厚，反射损耗就比较重要，而反之，较薄的层使散射损耗成为主要。对于由不完全的载流子能级填充的反转或晶体完整性所致的体吸收和散射几乎一无所知。如果我们假定衍射损耗等于反射损耗，则算得的阈值为 $j = 830$ 安/厘米²，这里我们在(7)式中用了如下数值： $d = 1.1 \times 10^{-3}$ 厘米， $n = 4$ ， $E = 1.47$ 电子伏， $\Delta E = 0.025$ 及 $\eta = 1$ 。此阈值差不多仅为文献[2]中所观察到的十分之一，这表明我们的假定还不是相差太远。

换种方式，也可以向求光发射层要多厚才会给出足够大的衍射损耗以说明文献[2]中报告的阈值。此值为

$$d \approx 0.6 \times 10^{-4} \text{ 厘米}$$

然而，在液氮温度下本器件中的其他损耗，特别是由不完全反转会致的吸收很可能是比较重要的。

附录

我们假定光-发射材料是一边界在 $x = \pm d/2$ 处

被消光系数为 α_s 的光吸收材料所包围的无限平板。假定折射率 n 的实部在两种材料中相等。我們企图确定在光发射材料中維持光波在此结构中均匀傳播所必需的单位长度的最小增益值 g 。此波在光发射材料中将有一大的振幅，而在吸收材料中则有一指數式衰減的振幅。其傳播矢量将处在板平面内，并且我們能认为其形式为

$$\Phi(x, z, t) = \phi(x) \exp[i(kz - \omega t)] \quad (1A)$$

式中 k 及 ω 都是实数。这个函数当 $|x| < d/2$ 时必須滿足波动方程

$$\left[\frac{n^2}{c^2} \frac{\partial^2}{\partial t^2} - \nabla^2 + \frac{n}{c} g \frac{\partial}{\partial t} \right] \Phi = 0 \quad (2A)$$

而当 $|x| > d/2$ 时，也滿足同样的方程，但应将 g 用 $-\alpha_s$ 代替。因此 $\phi(x)$ 滿足

$$\left[k^2 - \frac{n^2 \omega^2}{c^2} - \frac{in\omega g}{c} - \frac{\partial^2}{\partial x^2} \right] \Phi(x) = 0 \quad (3A)$$

此方程的解(对 x 为偶函数且在大 x 值处等于零)为

$$\phi(x) = \begin{cases} \cos ax, & \text{对 } |x| < d/2 \\ \phi_a e^{-b|x|}, & \text{对 } |x| > d/2 \end{cases} \quad (4A)$$

式中 a 和 b 都是复数。将 $\phi(x)$ 代入方程(3A)我們得到

$$\left. \begin{aligned} k^2 - \frac{n^2 \omega^2}{c^2} - \frac{in\omega g}{c} + a^2 &= 0 \\ k^2 - \frac{n^2 \omega^2}{c^2} + \frac{in\omega \alpha_s}{c} - b^2 &= 0 \end{aligned} \right\} \quad (5A)$$

$\phi(x)$ 的对数导数要在 $x = \pm d/2$ 处連續的条件是

$$a \tan(ad/2) = b \quad (6A)$$

(5A)的二式之差給出

$$a^2 + b^2 = \frac{in\omega}{c} (g + \alpha_s) \quad (7A)$$

从以上二式中消去 b 得

$$a^2 = \frac{in\omega}{c} (g + \alpha_s) \cos^2(ad/2) \quad (8A)$$

此式的复位相只和 ad 有关，而我們就用这个事实去推导 ad 的实部同虚部之間的关系①：

$$\frac{u-v}{u+v} = \tan u \tan hv \quad (9A)$$

式中 $u = 1/2 d \operatorname{Re} a$ ；

$$v = 1/2 d \operatorname{Im} a。$$

u 在区间 $0 < u < t/2$ 中的(9A)的解对应于波动方程(3A)的无节点的解，因此给出最少損耗的解。满足(9A)的一对数字 (u, v) 容易用逐次近似法得到，并且由下式我們从每对数字得到相应的 g 及 α_s 的值：

$$g = 8uv\alpha_s$$

$$g_0 + \alpha_s = 2 \left[\frac{u+v}{\cos u \cosh v} \right]^2 g_0 \quad (10A)$$

其中 $g_0 = \frac{c}{n\omega d^2} = \frac{\lambda}{2\pi n d^2}$

增益 g 就是正文中討論的由衍射所致的有效吸收系数 $\alpha_{\text{衍射}}$ 。已弄清楚其随 α_s 缓慢地变化，因此我們在图 2 中将 g/g_0 对 α_s/g_0 用对数标度作图，以表出我們的結果。 g/g_0 的最大值是 2.66，而且根据此值，我們得到正文中的(5)式。对于大 α_s 及小 α_s ，增益都必須变成零，因为当 $\alpha_s \rightarrow \infty$ 时，在吸收材料中解的振幅变到零。对大 α_s 及小 α_s 的漸近表达式为：

$$\text{当 } \alpha_s/g_0 \rightarrow \infty; \quad g/g_0 = 2\pi^2 \sqrt{\frac{2g_0}{\alpha_s}} \quad (11A)$$

$$\text{当 } \alpha_s/g_0 \rightarrow 0; \quad g/g_0 \rightarrow 2\sqrt{\frac{3\alpha_s}{2g_0}} \quad (12A)$$

最后，我們討論上面的衍射損耗理論有效的条件。一个条件是当(5A)中的 k^2 为负时在波导中发生的低频截止。由(5A)中第一式，我們得到这要求

$$\frac{n^2 \omega^2}{c^2} - \operatorname{Re} a^2 > 0$$

变数 u 在区间 $(0, \pi/2)$ 中时， $\operatorname{Re} a^2$ 不能比 π^2/d^2 大，因而我們得到比較简单的充分但非必要的条件 $d > \lambda/2n$ 。在一实际的器件中，我們还必須要求在 x 方向波不被反射面的有限范围所限制，而这就要求反射面的宽度 d 远大于 $1/b$ 。

参考文献及附注

- [1] M. I. Nathan, W. P. Dumke, G. Burns, F. H. Dill, Jr. and G. J. Lasher, 本輯第三篇。
- [2] G. Burns, R. A. Laff, S. E. Blum, F. H. Dill, Jr. and M. I. Nathan, 本輯第七篇。
- [3] R. A. Laff, W. P. Dumke, F. H. Dill, Jr. and G. Burns, 本輯第八篇。
- [4] 如果 N 为在給定的电磁模式中量子的数目，而 $\frac{dN}{dt}$ 为其由受激发射所致的时间变化率，则增益为 $g = \frac{n}{cN} \frac{dN}{dt}$ 。正文中单一模式中的受激发射几率的叙述意味着 $\frac{1}{N} \frac{dN}{dt} = B/nv$ ，其中 $nv = \frac{8\pi n^3}{\lambda^2 c}$ 为每单位频率间隔每单位体积內的电磁模式数。
- [5] A. G. Fox and T. Li, Bell System Tech. J. 40, 453 (1961).
- [6] G. D. Bord and J. P. Gordon, Bell System Tech. J. 40, 489 (1961)

(蔣 平譯，阮 剛、謝希德校)

① 事实上我們將方程(8A)乘以 $-i$ ，取平方根并使结果所得的方程两边的虛部对实部的比值相等